

# ФЛЮКТУАЦИИ ПЛОТНОСТИ РОЖДЕННЫХ ЧАСТИЦ ВО ВЗАИМОДЕЙСТВИЯХ БЫСТРЫХ АДРОНОВ С ЯДРАМИ

Э.В.Гедалин

В предположении, что взаимодействие быстрых адронов с ядрами описывается обменом померонами, показано, что флюктуации плотности частиц, образованных при столкновениях адронов с ядрами, велики для быстрот, близких к области фрагментации ядра.

Подавление внутриядерного каскада и – вследствие этого – сложная зависимость инклузивного сечения от массового числа ядра  $A$  являются важнейшими особенностями взаимодействия быстрого адрона с ядром. Как показано Канчели [1] (см. также [2]) в реджевской схеме эти характерные черты столкновений быстрых адронов с ядрами являются строгим следствием правил разрезания реджеонов [3], приводящим к нетривиальным сокращениям между абсорптивными частями померонных амплитуд. Инклузивное сечение  $d^3\sigma_A/dy dp_T^2$  при этом определяет-

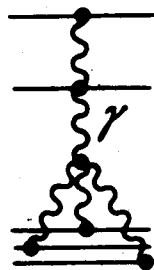


Рис. 1

ся суммой вкладов диаграмм рис. 1, и его отношение к инклузивному сечению рождения частиц в адрон-нуклонных столкновениях

$$\left( \frac{d^3\sigma_A}{dy dp_T^2} \right) / \left( \frac{d^3\sigma_N}{dy dp_T^2} \right) = \left( \frac{\sigma_A^{in}}{\sigma_N^{tot}} \right) \Phi(A, y, Y) \quad (1)$$

( $y$  – быстрота наблюдаемой частицы,  $Y$  – быстрота налетающего адрона в системе покоя ядра) убывает с ростом быстроты  $y$

$$\begin{aligned} \Phi(A, y, Y) &\sim A^{1/3} & \text{при } y \sim 1 \\ \Phi(A, y, Y) &\rightarrow 1 & \text{при } y >> 1 \end{aligned} \quad (2)$$

Точно так же ведет себя и отношение плотностей рожденных частиц

$$\nu_A(y) / \nu_N(y) = \Phi(A, y, Y), \quad (3)$$

где

$$\nu_A(y) = (\sigma_A^{in})^{-1} \int d^2 p_T \frac{d^3\sigma_A}{dy dp_T^2}; \quad \nu_N(y) = (\sigma_N^{tot})^{-1} \int d^2 p_T \frac{d^3\sigma_N}{dy dp_T^2}. \quad (4)$$

Как показано в [3], длинные флюктуации, связанные с померонными ветвлениями, определяются диаграммами, содержащими померонные замкнутые петли, вставленные в "разрезанные" померонные линии: инклюзивное сечение рождения "дырки" в спектре по быстротам от  $y$  до  $y + \lambda$   $f_1(y, \lambda)$  определяется вставкой  $\Sigma_1(y, \lambda)$  рис. 2, а, "столбика" –  $f_2(y, \lambda) -$  вставкой  $\Sigma_2(y, \lambda)$  рис. 2, б.

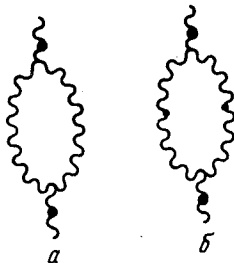


Рис. 2. Крест на линии означает разрезанный померон

С точки зрения условий сокращения соответствующих абсорбционных частей вставка  $\Sigma_i$  в реджеонной диаграмме ни чем не отличается от вставки  $y$ , соответствующей обычному инклюзивному сечению. Поэтому соответствующие инклюзивные сечения рождения дырок и столбиков определяются теми же диаграммами рис. 1 с заменой  $y$  на  $\Sigma_i$ .

В отличие от  $y$  вставка  $\Sigma_i$  являются нелокальными величинами зависящими как от  $y$ , так и от  $\lambda$ . Однако это не вносит дополнительных трудностей: отвлекаясь от тонкой структуры столбиков и других эффектов высшего порядка, в низшем приближении, считая реджеоны в  $\Sigma_i$  "голыми", имеем

$$\Sigma_i(y, \lambda) = \phi_i(y)\eta(\lambda). \quad (5)$$

Теперь нетрудно видеть, что

$$f_i^A(y, \lambda)/f_i^N(y, \lambda) \sim \Phi(A, y, Y). \quad (6)$$

Таким образом, флюктуации плотности распределения частиц, образованных в адрон-ядерных столкновениях зависят от быстрот рожденных частиц; при фиксированной  $\lambda$  они растут по мере приближения  $y$  к области фрагментации ядра. Иначе говоря, хотя при  $y \sim 1$  плотность частиц велика, велики также и флюктуации плотности.

Аналогичная ситуация возникает и при столкновениях быстрых ядер с ядрами. В этом случае имеем

$$f_{A_1 A_2}(y)/f_N(y) \sim \Phi(A_1, A_2, y, Y) \quad (7)$$

и, так как

$$\Phi(A_1, A_2, y, Y) = \Phi(A_1, Y - y + \lambda, Y)\Phi(A_2, y, Y), \quad (8)$$

где  $\Phi(A, y, Y)$  – та же функция, что и в (1) [1]. В этом случае имеем две области быстрот, в которых плотность рожденных частиц и ее флюк-

туации велики:  $y \sim 1$  – вблизи области фрагментации ядра  $A_2$  и  $Y - y + \lambda \sim 1$  – вблизи области фрагментации ядра  $A_1$ .

Заметим, что эти заключения не зависят ни от принятой конкретной модели взаимодействия померонов, ни от приближения, принятого для  $\Sigma_i$ . Включение любых взаимодействий между померонами и суммирование диаграмм высших порядков должны быть согласованы с исходными правилами разрезания померонов [3] и поэтому приведут к тем же диаграммам рис. 1, с заменой исходного померона (как разрезанного, так и неразрезанного) на эффективный, оставляя, однако неизменными соотношения (1), (3) и (6). Функция  $\Phi(A, y, Y)$  зависит от модели и ее изучение представляет интерес для проверки этих моделей.

В заключение остановимся на явлениях, ожидаемых в индивидуальных многочастичных событиях. При больших  $Y$  в индивидуальных событиях при  $y \leq \ln Rm$  ( $R$  – радиус ядра,  $m$  – масса нуклона) с весом  $\sim 1$  будут появляться "дырка" или "столбик" с размерами  $\lambda \sim 2$ . Такое поведение  $\nu_A(y)$  напоминает обсуждавшуюся в [4] особенность индивидуальных событий: на интервале быстрот  $\lambda \sim 2 \div 3$  в области  $y \sim 1$  наблюдалось аномально большое число рожденных частиц. Это представлялось противоречащим абсорптивным моделям. Приведенное выше рассмотрение показывает, что наблюдавшиеся неоднородности  $\nu(y)$  возможно могут быть объяснены на основе существующей реджевской модели.

Институт физики  
Академии наук Грузинской ССР

Поступила в редакцию  
13 августа 1976 г.

### Литература

- [1] О.В.Канчели. Письма в ЖЭТФ, 18, 465, 1973.
- [2] E.S. Lehman, G.A. Winbow. Phys. Rev., D10, 2962, 1974.
- [3] В.А.Абрамовский, В.Н.Грибов, О.В.Канчели. ЯФ, 18, 595, 1973.
- [4] М.И.Третьякова. Известия АН СССР, серия физическая, 37, 1368, 1973.